

# ALG 10

## Dynamické programování

zkratka: DP

Zdroje, přehledy, ukázky viz

[https://cw.fel.cvut.cz/wiki/courses/a4b33alg/literatura\\_odkazy](https://cw.fel.cvut.cz/wiki/courses/a4b33alg/literatura_odkazy)

## Dynamické programování

### Příklady aplikací:

- Optimální rozvrhování navazujících procesů
- Přibližné vyhledávání v textu daných vzorků (bioinformatika)
- Optimální plnění ruksaku (kontejneru, nádob...)
- Hledání optimálních cest/spojení v grafech, sítích...
- Nejdelší podposloupnosti s předepsanými vlastnostmi
- Nejdelší společná podposloupnost
- Optimální pořadí násobení matic
- Optimální vyhledávací strom
- Optimální vrcholové pokrytí hran stromu
- Množství dalších....

## Dynamické programování

### Charakteristika

**Neřeší jeden konkrétní typ úlohy, je to všeobecná strategie (podobně jako Rozděl a panuj) pro řešení převážně optimalizačních úloh z různých oblastí tvorby algoritmů.**

### Významné vlastnosti

- 1. Hledané optimální řešení lze sestavit z vhodně volených optimalních řešení téže úlohy nad redukovanými daty.**
- 2. V rekurzivně formulovaném postupu řešení se opakovaně objevují stejné menší podproblémy.  
DP umožňuje obejít opakovaný výpočet většinou jednoduchou tabelací výsledků menších podproblémů, tedy volně řečeno, předpočítáním menších výsledků.**

# Dynamické programování

## Seznam DP algoritmů na [en.wikipedia.org/wiki/Dynamic\\_programming](http://en.wikipedia.org/wiki/Dynamic_programming)

- Recurrent solutions to [lattice models](#) for protein-DNA binding
- [Backward induction](#) as a solution method for finite-horizon [discrete-time](#) dynamic optimization problems
- [Method of undetermined coefficients](#) can be used to solve the [Bellman equation](#) in infinite-horizon, [discrete-time](#), [discounted](#), [time-invariant](#) dynamic optimization problems
- Many [string](#) algorithms including [longest common subsequence](#), [longest increasing subsequence](#), [longest common substring](#), [Levenshtein distance](#) (edit distance)
- Many algorithmic problems on [graphs](#) can be solved efficiently for graphs of bounded [treewidth](#) or bounded [clique-width](#) by using dynamic programming on a [tree decomposition](#) of the graph.
- The [Cocke–Younger–Kasami \(CYK\) algorithm](#) which determines whether and how a given string can be generated by a given [context-free grammar](#)
- [Knuth's word wrapping algorithm](#) that minimizes raggedness when word wrapping text
- The use of [transposition tables](#) and [refutation tables](#) in [computer chess](#)
- The [Viterbi algorithm](#) (used for [hidden Markov models](#))
- The [Earley algorithm](#) (a type of [chart parser](#))
- The [Needleman–Wunsch](#) and other algorithms used in [bioinformatics](#), including [sequence alignment](#), [structural alignment](#), [RNA structure prediction](#)
- [Floyd's all-pairs shortest path algorithm](#)
- Optimizing the order for [chain matrix multiplication](#)
- [Pseudo-polynomial time](#) algorithms for the [subset sum](#) and [knapsack](#) and [partition](#) problems
- The [dynamic time warping](#) algorithm for computing the global distance between two time series
- The [Selinger](#) (a.k.a. [System R](#)) algorithm for relational database query optimization
- [De Boor algorithm](#) for evaluating B-spline curves
- [Duckworth–Lewis method](#) for resolving the problem when games of cricket are interrupted
- The value iteration method for solving [Markov decision processes](#)
- Some graphic image edge following selection methods such as the "magnet" selection tool in [Photoshop](#)
- Some methods for solving [interval scheduling](#) problems
- Some methods for solving [word wrap](#) problems
- Some methods for solving the [travelling salesman problem](#), either exactly (in [exponential time](#)) or approximately (e.g. via the [bitonic tour](#))
- [Recursive least squares](#) method
- [Beat tracking](#) in [music information retrieval](#)
- [Adaptive-critic training strategy](#) for [artificial neural networks](#)
- Stereo algorithms for solving the [correspondence problem](#) used in stereo vision
- [Seam carving](#) (content aware image resizing)
- The [Bellman–Ford algorithm](#) for finding the shortest distance in a graph
- Some approximate solution methods for the [linear search problem](#)
- [Kadane's algorithm](#) for the [maximum subarray problem](#)

Ilustrační otisk obrazovky

## Tabelace v DP - příklad

Definice  
funkce

$$f(x,y) = \begin{cases} 1 & (x = 0) \ || \ (y = 0) \\ 2 \cdot f(x, y-1) + f(x-1, y) & (x > 0) \ \&\& \ (y > 0) \end{cases}$$

Otázka

 $f(10,10) = ?$ 

Program

```
int f( int x, int y ) {  
    if ( (x == 0) || (y == 0) )  
        return 1;  
    return ( 2* f(x, y-1) + f(x-1, y) );  
}
```

```
print( f(10,10) );
```

Odpověď

 $f(10,10) = 127\ 574\ 017$  😊

## Tabelace v DP - příklad

Jednoduchá  
analýza

```
int count = 0;  
  
int f( int x, int y ){  
    count++;  
    if ( (x == 0) || (y == 0) )  
        return 1;  
    return ( 2* f(x, y-1) + f(x-1,y) );  
}
```

```
xyz = f( 10,10 );  
print( count );
```

Výsledek  
analýzy

count = 369 511



**Kvíz 1**

```
int f( int x, int y ) {  
    if ( (x == 0) || (y == 0) )  
        return 1;  
    return ( 2* f(x, y-1) + f(x-1,y) );  
}  
  
print( f( ____, ____ ) );
```

**Výpočet proběhne za MINUTU nebo méně pro volání**

- |                      |          |
|----------------------|----------|
| a) f( 10, 10 )       | Ano / Ne |
| b) f( 20, 20 )       | Ano / Ne |
| c) f( 100, 100 )     | Ano / Ne |
| d) f( 1000, 1000 )   | Ano / Ne |
| e) f( 10000, 10000 ) | Ano / Ne |

## Kvíz 1 - odpověď

Počet rekurzivních volání $f$ při výpočtu $f(x,y)$	Upočítáme za minutu
a) $f(10, 10)$ 369511	Ano
b) $f(20, 20)$ 275693057639	Ano, na super HW
c) $f(100, 100)$ 181097029312206562330808354154968327749009179350826673682639	Ne
d) $f(1000, 1000)$ 4096303253978979428670325005961650088792849775962794067640765 2753434963724041675116578659883652204124029295326399960473848 3096359600904958403609509953852315712602579326864129429702304 7905033024555371772230790925122958147573369283088890672352275 4014771134762917926014261302091191902895977749241273743702910 3657102346332552507327546169365864510778099487718962863510061 5675928887416201703274496549255828340332397675296816870828616 3557189407549313037695102936149938934984760606620363744659601 9337134917120505099820236227050706931777588393330734980902261 2220192623812540685004586311822217953467927982298239	Ne
e) $f(10000, 10000)$ Na dalším slidu	Asi Ne...



## Kvíz 1 - odpověď, počet volání f při f(10000,100000)

4491205325492691083103138872315726295179473931559756487241420864144760440647188090888944050587724632844618527686779393202388845184672075961684978215062  
 7789036613445612248673150600809080353581471518044743847296221417135506611964629212882344387362375266503655493728650501604261803202313478393797242159620  
 8470970334193363789735312966028100220637572758941332893162321408026220336798411290281108618831193762384090514389901511520093434982465614570091145993944  
 0383561402905377708515207223694075655211105165719668485576472525341473206910932439186303998127301499713646333937701054592971176404540861665137078419476  
 4207527278241366960930551874253531962285501154508961495259887794334284560299454359813313110854396377314866789083672300616716606102792330369853902372042  
 9363172133044761726635253714345318656797764921485071118596871373779373972516100103071569201994919639664257765115885331728181482600593568295213432095658  
 0405966629026326926076561320815054365647741921676103711987625014102983817336038796025824738912731524631332339109988382670853289384866906726374474381204  
 2656579233018413171306030010183862397691417485174744949716584327712366849728956898944263924760602690499661095409481071700475879577851547750529158378931  
 7653785981565736465239326739831246916363282780974497745701585170962690035381730312970544313877754113986057449783184584882309052750962428657495608442888  
 9242130962812958796161242637688059090908057170352026978602227647420362971241748764636563714773675839841403781789250217607866353444138672923563367082844  
 2421739832941753042945696446353271414862975295480672967946549360431898853582517693899379386644096574628835084980428586993131970712189421042172296033716  
 5853997940166551100297804025742131202801367243239597551288909926607936121547262481242517635179613900122326589389559905833938514916517950103726567878950  
 5961548450187448054990759618968069954400643807193688925231468658135216865098827415881742639780938787689927142814914754669754433544908066778168285352571  
 6138052755949775267069469321336456184211682024704519979078958778307555380439653097671164139979265443291932015509779433607747350762446891148276372433248  
 1299249421998360906359020103559433412799375728536665595852844713539978333123142722201905259892425359397041449157743331130085243715873339865915971702276  
 3309005244605825165765369584132029925884480789194697290541565019437665902932867782181957082672508287170925000526923368085679015579175622408559420509987  
 8840517858912033903412897751265830307365487481270416701376642623343749496856571594398758187822242343900837142177144791253834534534052860150140787252107  
 8907127419465542752844483097124068276308153446633528826565358385204840608133465884306148038735510294930998603490156529666688818044534917126196601637330  
 5849315257669289669795274200415655735750840621674141501147631062941061048360069463448664202063345780691207257118570039972275682082233419305609606278853  
 2567545992308604320547990380520893587001357724349345270491820300410638140969264161269770566253718261454915896730913247607716682816299987569804880495619  
 9067762405146070491105935354071731909530049960856780002367673729301863486316190231475381094925812654233966789741578762607856563323381535610498708940780  
 0430570770116915354615198040167913311821408793484751548630855164042626913116821127586882466114116050288822059515224407139421344161558331337656337042579  
 1935235747946513632513213063859557773404925238224327984873244114787415400927447087484418727277949157975608112488878496297780226761815382341034754935099  
 7146899511555732662538673035977228845190234774225616968808089960700098385866546950873663660486042899443595138586259798051664760924151406983680912073232  
 7681682144882000641351029670158495760128095738031260760315219629028081864440806875436674977755781556476988028783380851203728062647914270240055110164954  
 1263009198614033015605707689067766721547542421106772567542939622757783976846817392654841078120575411146821206737573076016299492310939373247245465819789  
 5386851860553443345919225297607992879235228383822644653500211238307249750763673346273462481338580687523527786453516392586171433069192627362146839642787  
 333617671348310643938776232535446084956999572248755042335086715970806466167377750274665576450482441311598216377324979775671999750238610280303929366358  
 487872135784524377650802654144617432404725822513577598659715255396555413742988520036433277514533893224894952634421048201708617808198574812446681784355  
 1308579134252450624787352760223014977802696250949016383039556988702583135555888992621169889351132843101279167378954493982017247537421084349195475384114  
 1543253467009198447085933682472494204741068073638177760436616418048100623073311587316675997581525213428311736573624377678236945232599605131854991491880  
 5690564805087729998790479990411925542644243721901408231402130765197115389419653134149224211251429806538524212416076682977569659441792022663271420278942  
 2416791105996250775947593233060736758068233112004929247304794510714968055764336214995955265882241162163933171037847941586392521054145590194885339611725  
 4488801030132556793805168325489137472210414824271312021379532080565145879360344298514088681409659439759443375216516299930924504490160885862533714042554  
 474262048279295927267709865201937593707882567199262328570391673293898691531389506513996429316847733825093950641955437479759560950088276763174961379377  
 8443172596735234708054774906972400261550420107317737658565741170351489589942953883438082538942859548808878420883351517146450866031205386562723500483313  
 0485306939573880652515236897540119979050336971525311249843796092876509161718683502014425173655263286657895319422292809893005806001379272570389750396641  
 1593969832730983444658512821198470094834253438206358968647444925213802666708549952133617554645472797927562872527906528281722901901994467757848145257799  
 0708602542873964346820156953331361973380027541989972082262612542532052982058327877996462899886944299177837285977045967600118357158575254453229820847359  
 9009878688975373438054943998371741392336473604942722093778027451411978906101750569525099094988174378719001682836853318972907833279

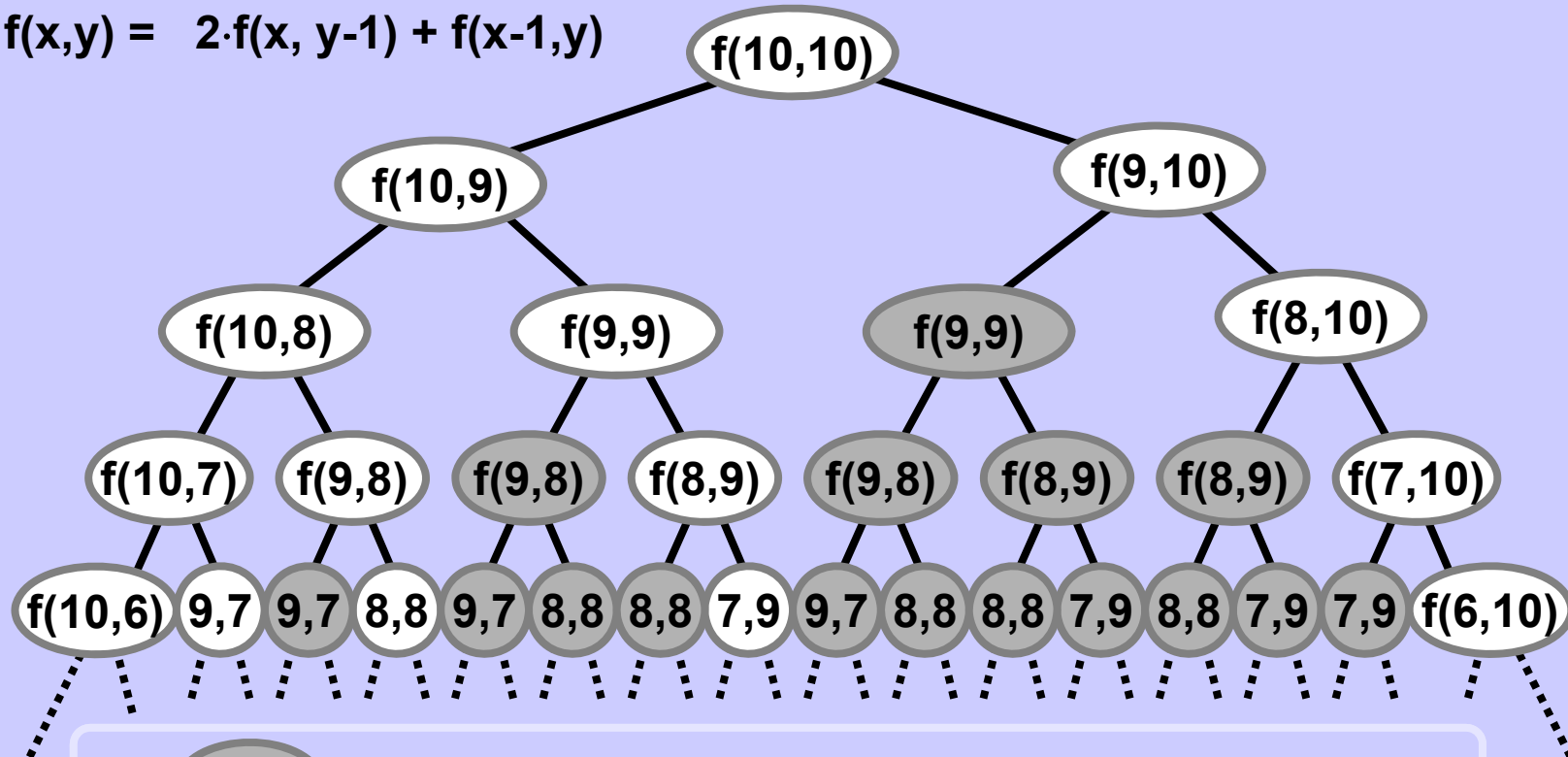
Na doma: Ověřte správnost tohoto výsledku! ( např. 5 řádků v Pythonu...)

K3

## Tabelace v DP - příklad

### Detailnější analýza – strom rekurzivního volání

$$f(x,y) = 2 \cdot f(x, y-1) + f(x-1, y)$$

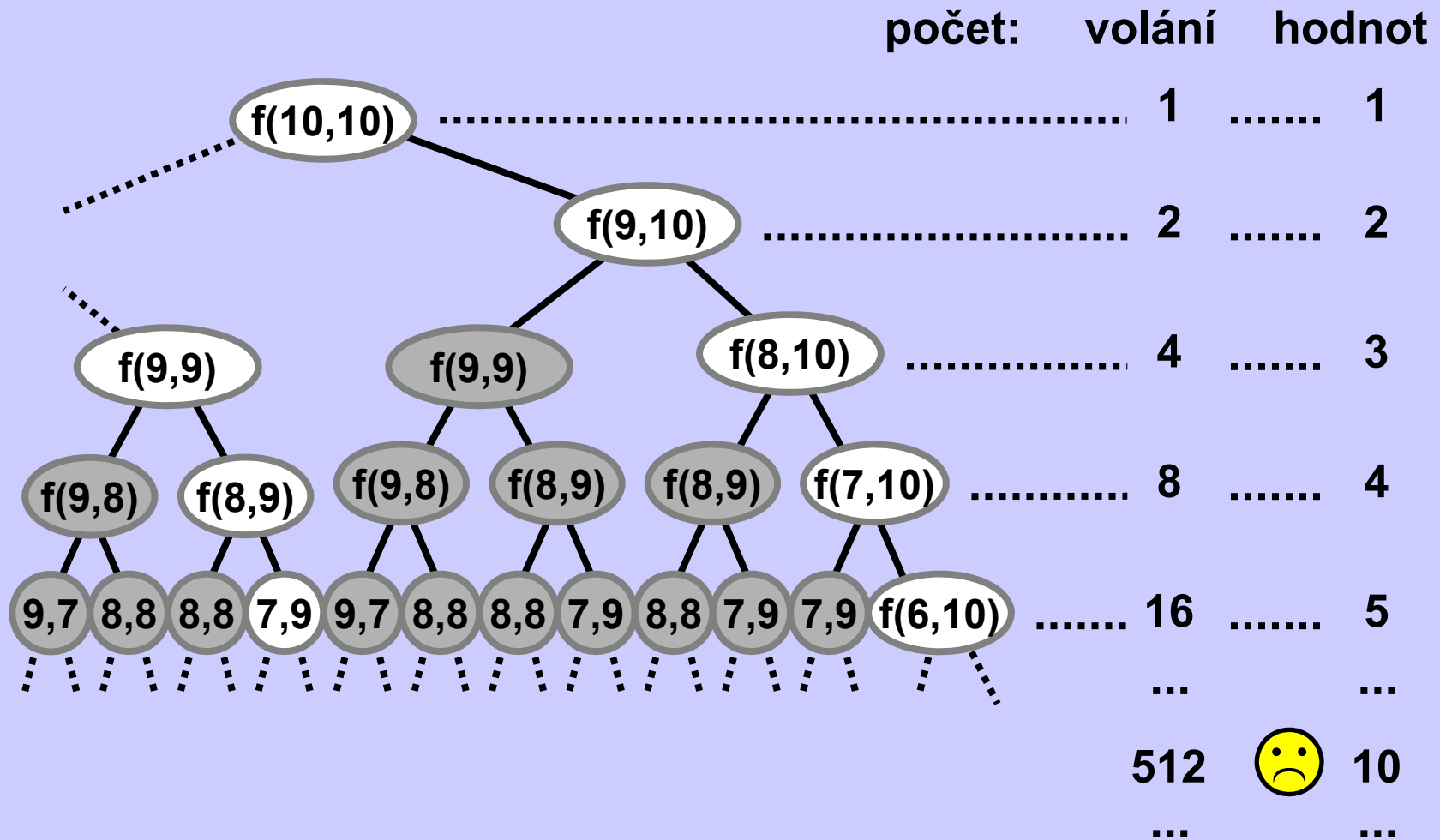


$f(x,y)$  ... Opakující se výpočty, velké množství!

$8,8$   $9,7$  zobrazeny jen parametry pro nedostatek místa

## Tabelace v DP - příklad

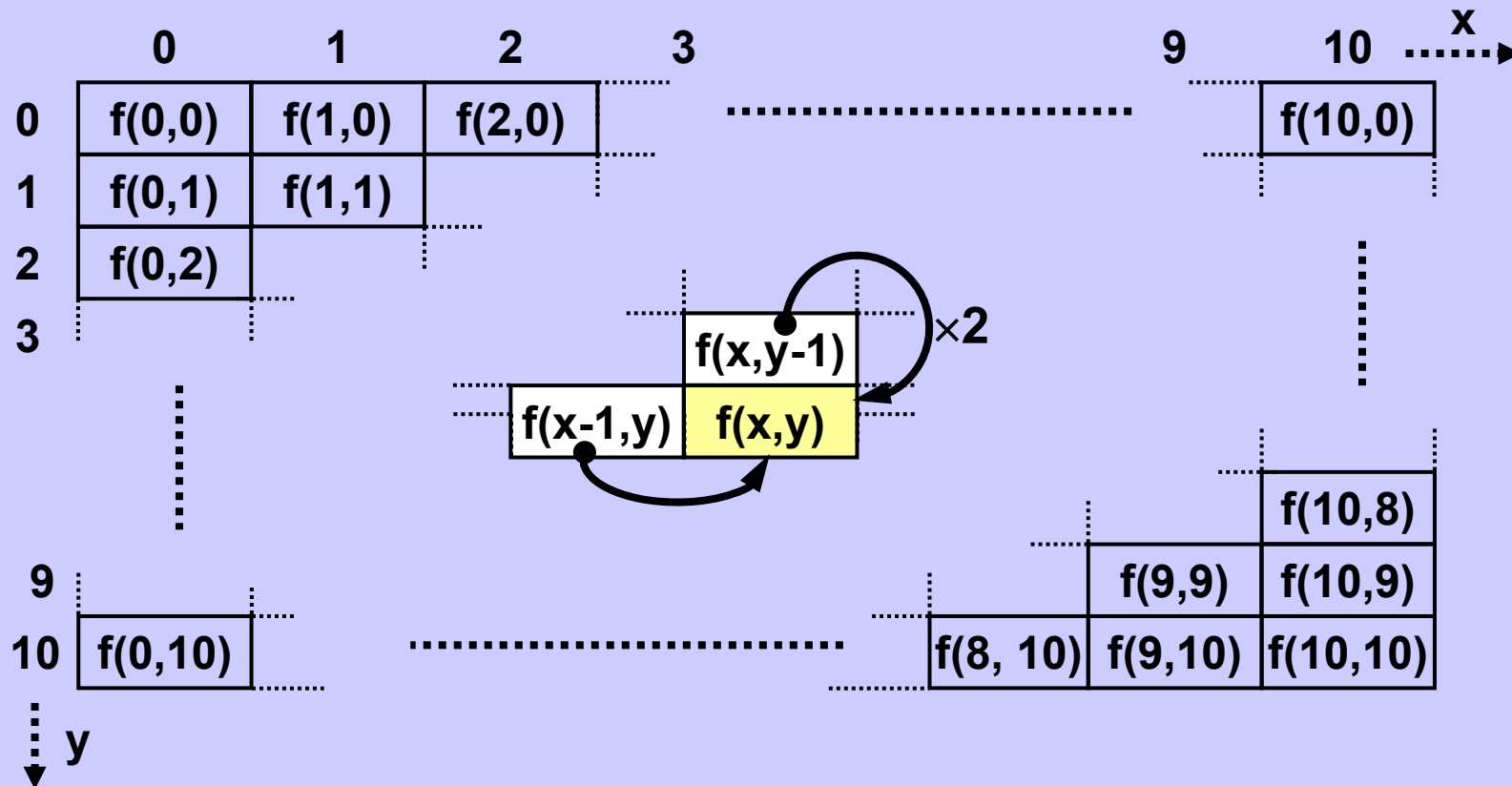
Detailnější analýza pokračuje – efektivita rekurzivního volání



## Tabelace v DP - příklad

$$f(x,y) = \begin{cases} 1 & (x = 0) \ || \ (y = 0) \\ 2 \cdot f(x, y-1) + f(x-1, y) & (x > 0) \ \&\& \ (y > 0) \end{cases}$$

### Tabulka všeobecně



## Tabelace v DP - příklad

$$f(x,y) = \begin{cases} 1 & (x = 0) \parallel (y = 0) \\ 2 \cdot f(x, y-1) + f(x-1, y) & (x > 0) \ \&\& \ (y > 0) \end{cases}$$

### Tabulka numericky

	0	1	2	3	4	...	9	10	$\dots \rightarrow x$
0	1	1	1	1	1	.....		1	
1	1	3	5	7	9				
2	1	7	17	31					
3	1	15	49						
4	1	31							
	⋮								
9									
10	1		.....						
	⋮								
								8085505	
							16807935	32978945	
							28000257	61616127	127574017

Diagram illustrating the recurrence relation for  $f(x,y)$  at a specific cell  $(x,y)$ . The cell  $f(x,y)$  is highlighted in yellow. It is calculated as  $2 \cdot f(x, y-1) + f(x-1, y)$ . Arrows indicate the dependencies: a curved arrow from  $f(x, y-1)$  (top cell) multiplied by 2, and a straight arrow from  $f(x-1, y)$  (left cell) to  $f(x, y)$ .

## Tabelace v DP - příklad

$PV(x,y)$  --- počet rekurzivních volání  $f$  po příkazu  $f(x, y)$

$$PV(x,y) = \begin{cases} 1 & (x = 0) \ || \ (y = 0) \\ 1 + PV(x, y-1) + PV(x-1,y) & (x > 0) \ \&\& \ (y > 0) \end{cases}$$

y/x	0	1	2	3	4	5	6	7	8	9	10
0	1	1	1	1	1	1	1	1	1	1	1
1	1	3	5	7	9	11	13	15	17	19	21
2	1	5	11	19	29	41	55	71	89	109	131
3	1	7	19	39	69	111	167	239	329	439	571
4	1	9	29	69	139	251	419	659	989	1429	2001
5	1	11	41	111	251	503	923	1583	2573	4003	6005
6	1	13	55	167	419	923	1847	3431	6005	10009	16015
7	1	15	71	239	659	1583	3431	6863	12869	22879	38895
8	1	17	89	329	989	2573	6005	12869	25739	48619	87515
9	1	19	109	439	1429	4003	10009	22879	48619	97239	184755
10	1	21	131	571	2001	6005	16015	38895	87515	184755	369511

## Tabelace v DP - příklad

Všechny hodnoty se předpočítají

```
int dynArr [N+1][N+1];

void fillDynArr(){

    for( int xy = 0; xy <= N; xy++ )
        dynArr[0][xy] = dynArr[xy][0] = 1;

    for( int y = 1; y <= N; y++ )
        for( int x = 1; x <= N; x++ )
            dynArr[y][x] = 2*dynArr[y-1][x] + dynArr[y][x-1];
}
```

Volání funkce

```
int f( int x, int y ){
    return dynArr[y][x];
}
```

## Hledání optimálních cest v grafu

### Značení

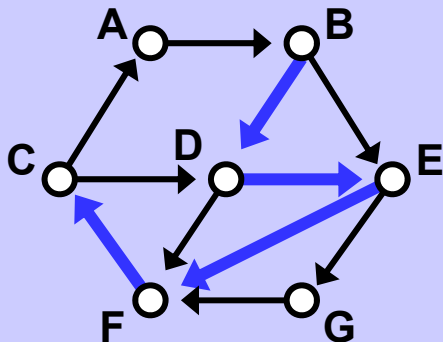
Graf  $G = (V, E)$ , množina uzlů resp. hran:  $V(G)$  resp.  $E(G)$ ,  
 $N = |V(G)|$ ,  $M = |E(G)|$ , případně  $n = |V|$ ,  $m = |E(G)|$  apod.

### Cesta v grafu

= posloupnost na sebe navazujících hran,  
 která prochází každým uzlem nejvýše jednou.

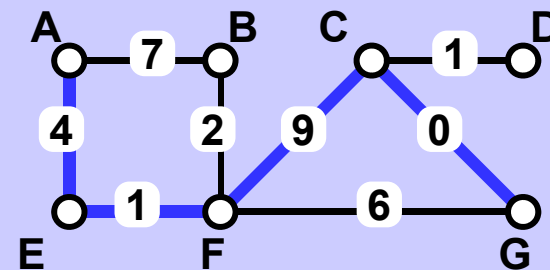
Délka cesty v neváženém grafu  
 = počet hran na cestě.

Př. Délka (B D E F C) = 4.



Délka cesty ve váženém grafu  
 = součet vah hran na cestě.

Př. Délka (A E F C G) = 14.





## Hledání optimálních cest v grafu

### Nejkratší cesty

Úloha nalezení nejkratší cesty mezi dvěma danými uzly, případně mezi některými dvojicemi uzlů nebo mezi všemi dvojicemi uzlů.

(Například minimalizace nákladů na přesun z X do Y.)

### Postupy

Je vyřešena úspěšně pro všechny praktické případy.

V neváženém obecném grafu známe BFS, pro jiné případy, zejména vážených grafů, existují specializované algoritmy -- Dijkstra, Floyd-Warshall, Johnson, Bellman-Ford, atd.

### Složitost

Asymptotická složitost je vždy polynomiální v počtu uzlů a hran, typicky nalezení jedné cesty má složitost nanejvýš  $O(N^2)$ , kde N je počet uzlů grafu.

## Hledání optimálních cest v grafu

### Nejdelší cesty

Úloha nalezení nejdelší cesty v grafu mezi dvěma danými uzly, nebo v celém grafu vůbec.

(Například maximalizace zisků při provádění navzájem závislých činností.)

Není dosud uspokojivě vyřešena v plné obecnosti.

**Exponenciální složitost**

**NP - těžký problém**

### Možné strategie

1. Brute force -- exponenciální složitost, pro  $N > \text{cca } 30$  bezcenná.
2. Algoritmy přibližného řešení s polynomiální složitostí
  - buď najdou optimum jen s určitou pravděpodobností
  - nebo zaručí jen nalezení suboptimálního řešení
  - typicky jsou netriviální a náročné na správnou implementaci.

## Hledání nejdelších cest v grafu

### Možné strategie

**3. Specifické typy grafů dovolují použít efektivní specifický algoritmus.**

#### Nejjednodušší případ

**3A.**

**Graf je strom (vážený ano i ne, orientovaný ano i ne).  
Nejdelší cestu lze najít, např. s pomocí průchodu postorder,  
vždy v čase  $\Theta(N)$ .**

#### Příležitost pro DP

**3B.**

**Graf je orientovaný, acyklický, vážený ano i ne.  
Standardní označení: DAG (Directed Acyclic Graph)**

## Topologické uspořádání DAG

**Topologické uspořádání uzlů DAG je takové pořadí jeho uzlů, ve kterém každá hrana vede z uzlu s nižším pořadím do uzlu s vyšším pořadím.**

**Každý DAG lze topologicky uspořádat, většinou více způsoby.**

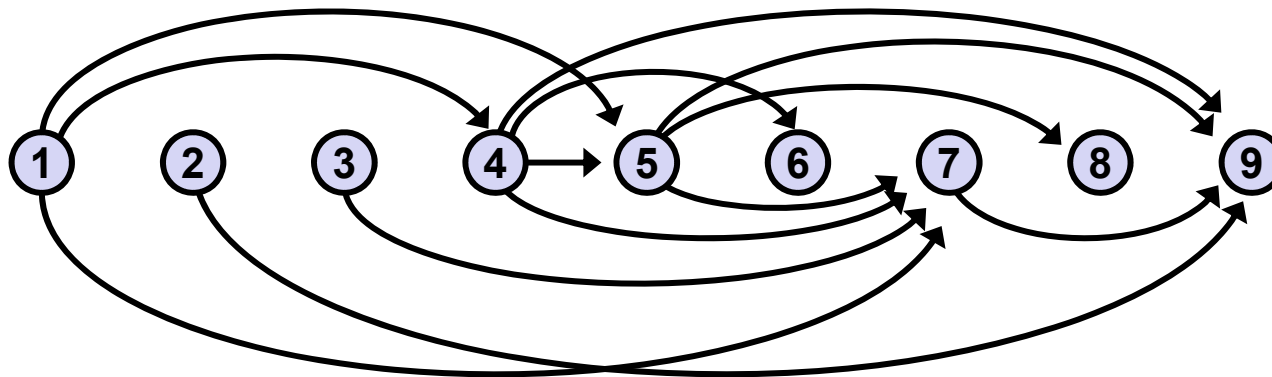
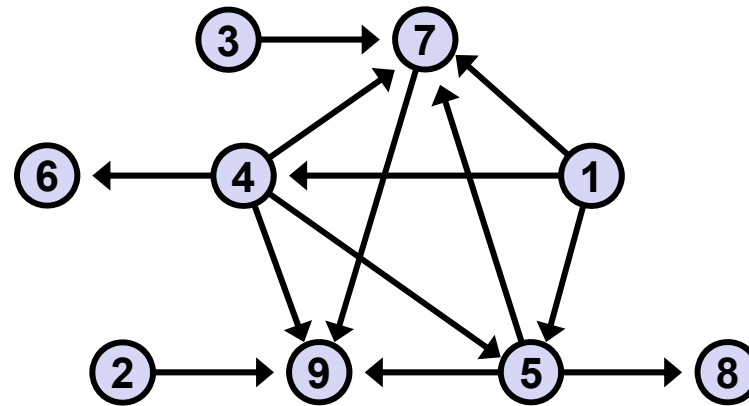
**Orientovaný graf s alespoň jedním cyklem nelze topologicky uspořádat.**

**Mnoho úloh DP obsahuje DAG na vstupu již topologicky uspořádaný.**

**Topologické uspořádání DAG (alespoň jedno) lze sestavit v čase  $\Theta(M)$ , tj. v čase úměrném počtu hran DAG.**

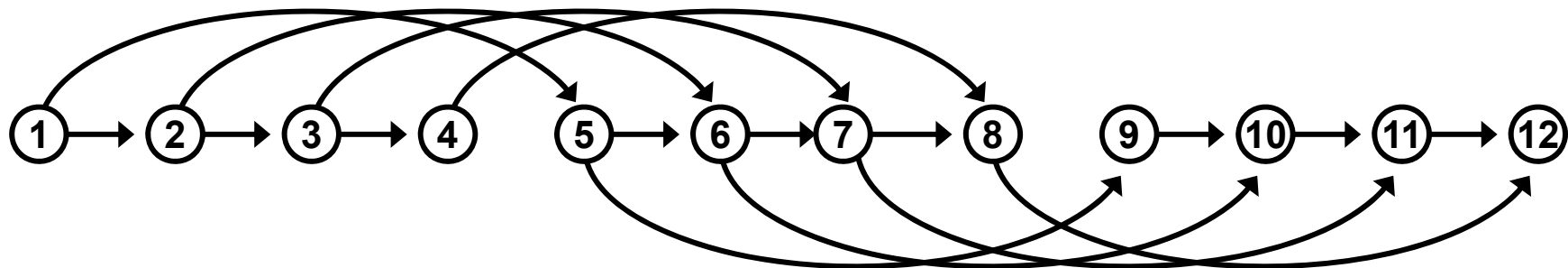
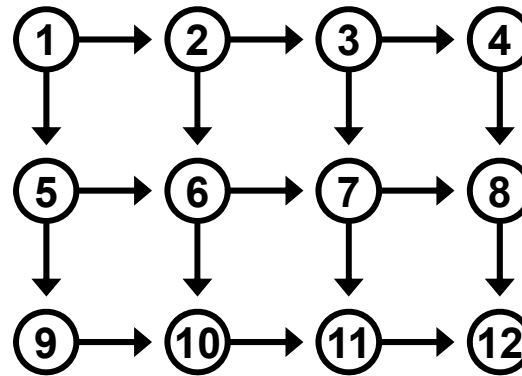
## DAG a jeho topologické uspořádání

### Příklad 1



## DAG a jeho různá topologická uspořádání

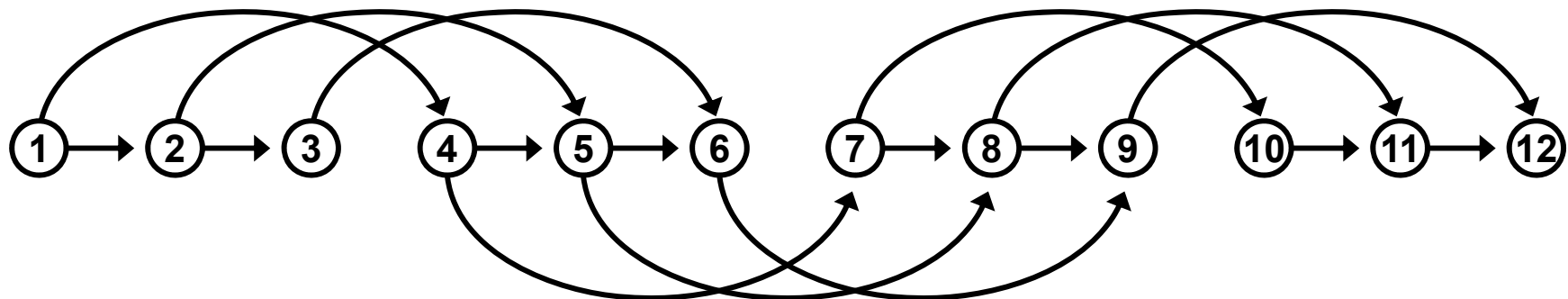
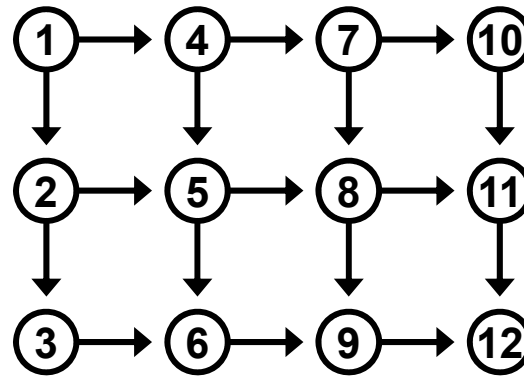
### Příklad 2a



V uzlu je zapsáno jeho pořadí v topologickém uspořádání

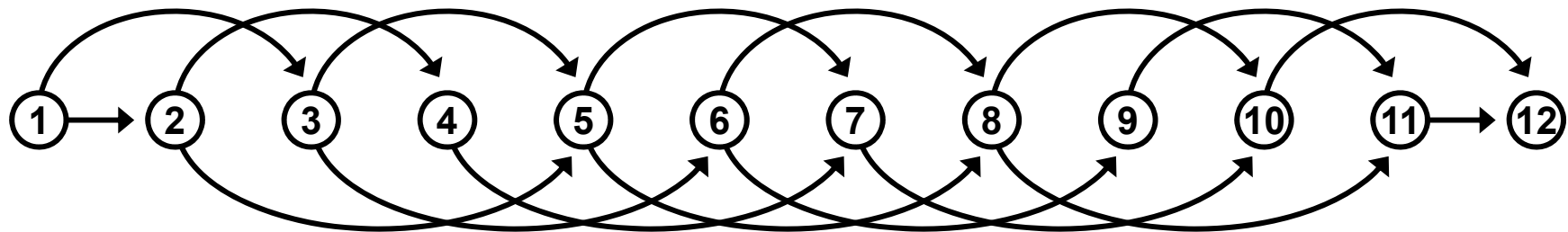
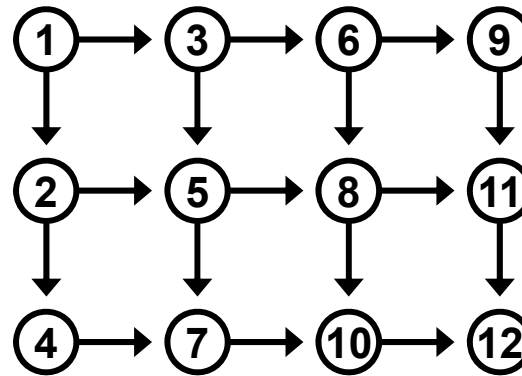
## DAG a jeho různá topologická uspořádání

### Příklad 2b



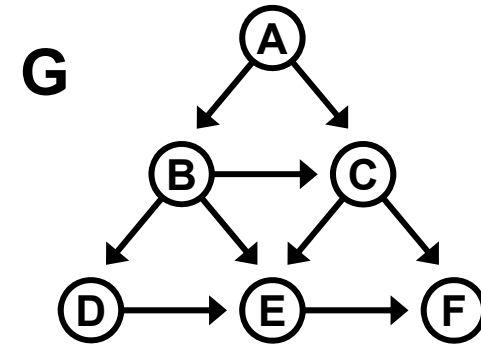
## DAG a jeho různá topologická uspořádání

### Příklad 2c





## Kvíz 2

**Graf G**

- a) Nelze topologicky uspořádat,
- b) lze topologicky uspořádat jen jedním způsobem,
- c) lze topologicky uspořádat dvěma způsoby,
- d) lze topologicky uspořádat třemi způsoby,
- e) lze topologicky uspořádat  $6!$  způsoby.

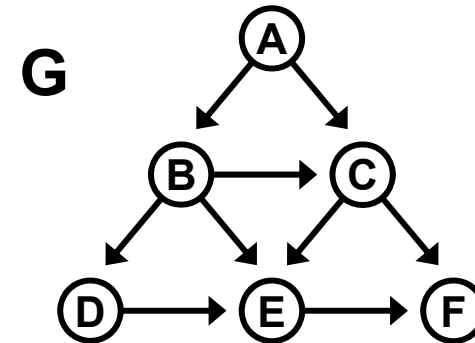
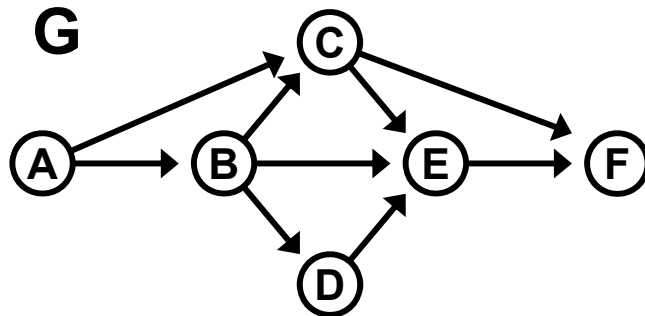
## Kvíz 2, odpověď

### Graf G

...

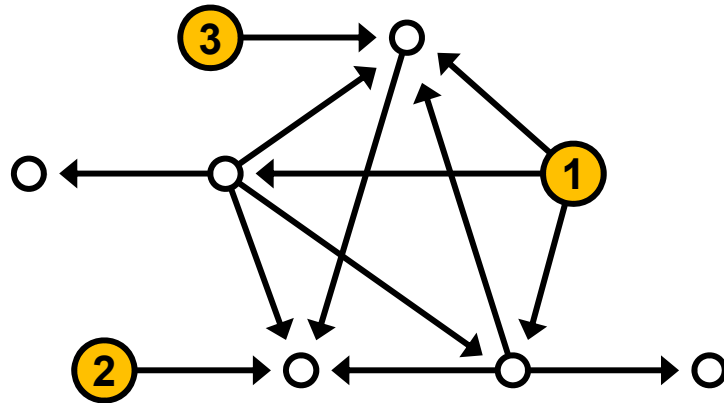
c) lze topologicky uspořádat dvěma způsoby,

....

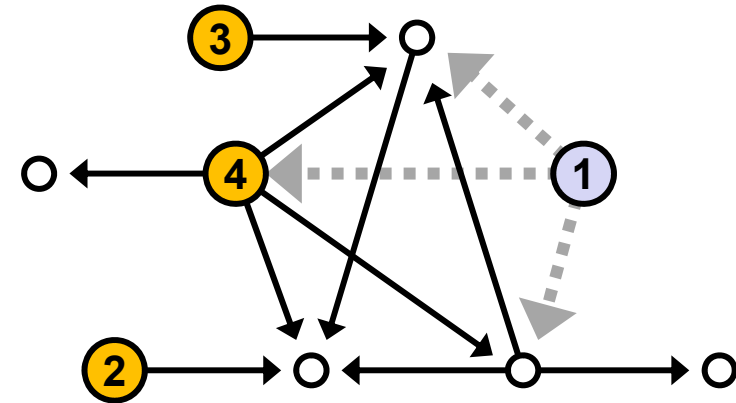


Pořadí A B E F nelze měnit (orientovaná cesta),  
C a D musí být v topologickém uspořádání mezi B a E,  
buď v pořadí C D nebo v pořadí D C.

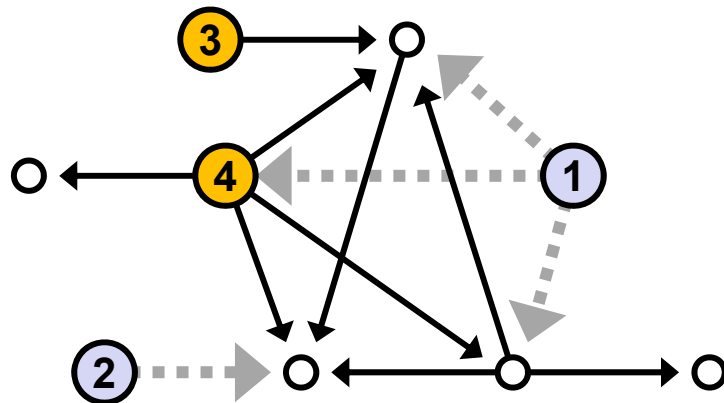
## Topologické uspořádání DAG - příklad



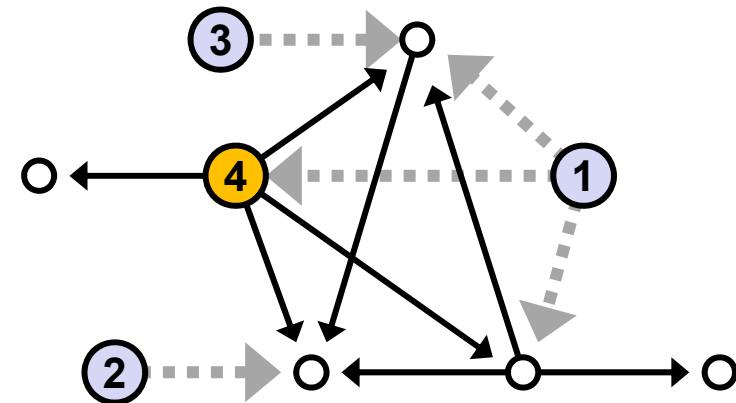
Queue: 1, 2, 3.



Queue: 2, 3, 4.

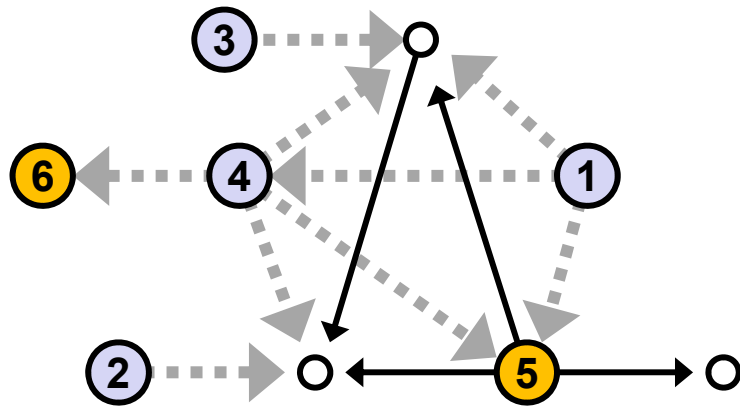


Queue: 3, 4.

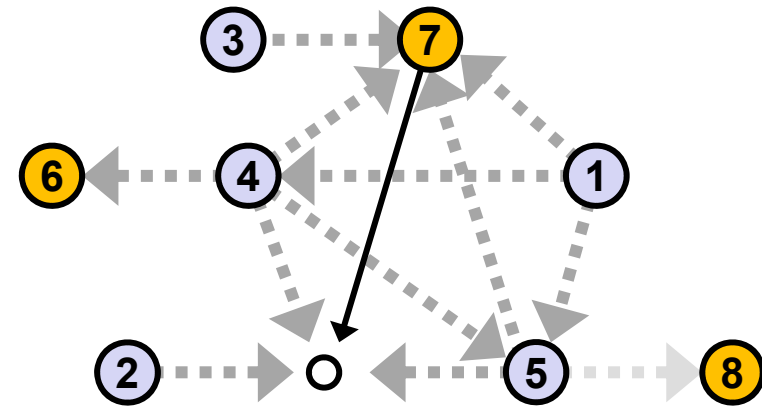


Queue: 4.

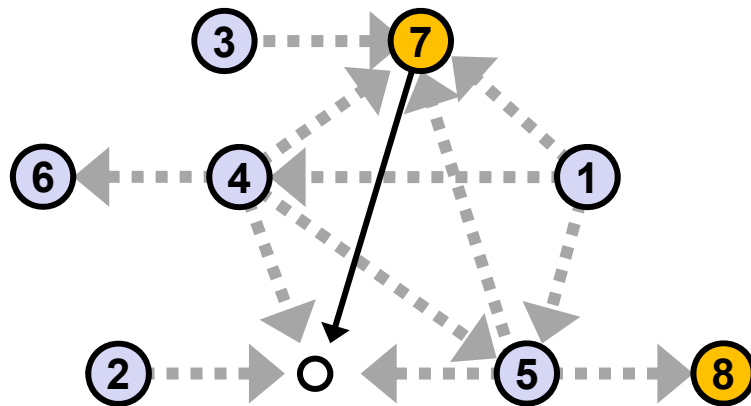
## Topologické uspořádání DAG - příklad



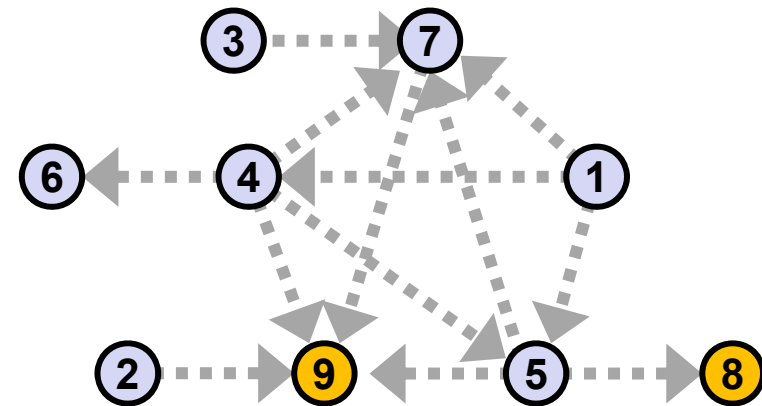
Queue: 5, 6.



Queue: 6, 7, 8.

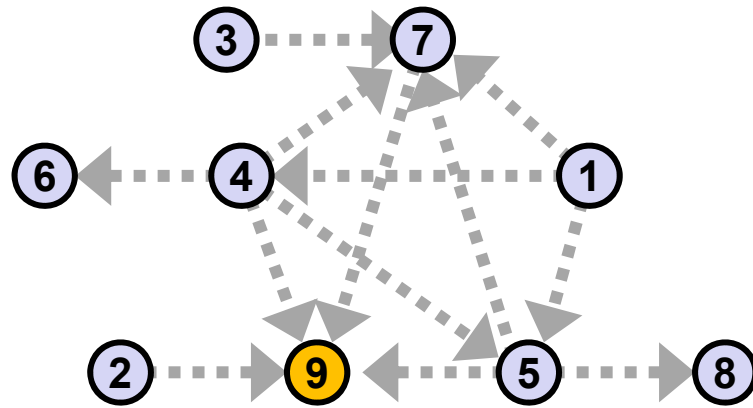


Queue: 7, 8.

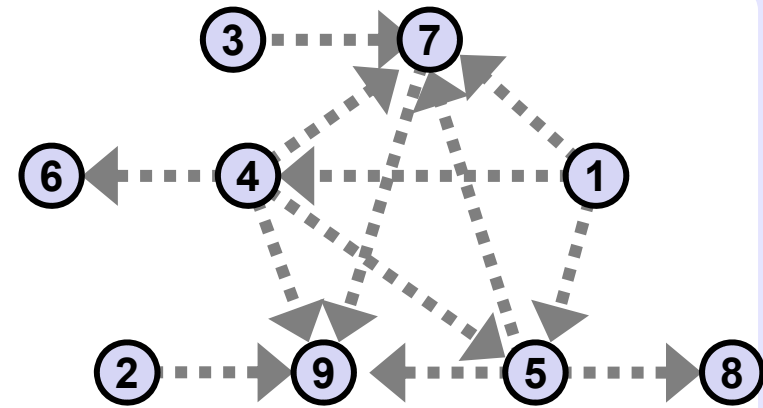


Queue: 8, 9.

## Topologické uspořádání DAG - příklad

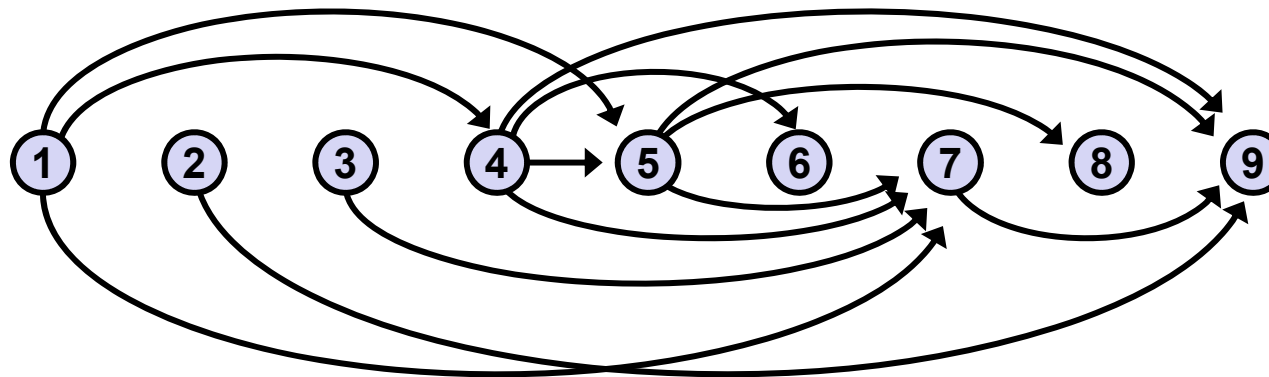


Queue: 9.



Queue: Empty.

Topologické uspořádání



## Topologické uspořádání DAG

### Algoritmus

```

0. new queue Q of Node
   counter = 0

1. for each x in V(G)
   if (x.indegree == 0) // x is a root
     Q.insert(x)
     x.toporder = counter++

2. while (!Q.empty()) {
   Node v = Q.pop()
   for each edge (v, w) ∈ E(G) {
     G.removeEdge((v, w))
     if (w.indegree == 0) // w is a root
       Q.insert(w)
       w.toporder = counter++
   }
}

```

### Složitost

Předpokládáme, že operace `G.removeEdge((v, w))` má konstantní složitost \*).

0. Složitost  $O(N)$
1. Složitost  $\Theta(N)$
2. Složitost  $\Theta(M)$ ,  
každá hrana je navštívena právě jednou  
a zpracována v konstantním čase.

Složitost:  $\Theta(N+M)$

*\*) Hranu fyzicky neodstraňujeme, jen ji vhodně označíme a změníme charakteristiky obou krajních uzlů.*

Pořadí, ve kterém se uzly vkládají do fronty, určuje **topogické uspořádání DAG**.

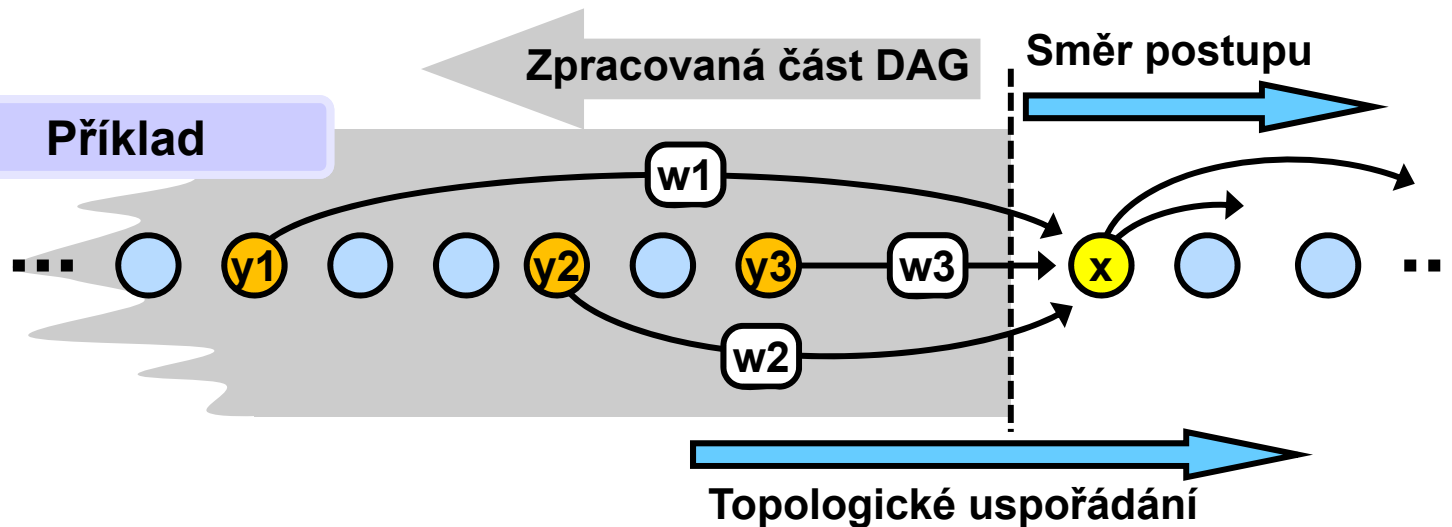
## Nejdelší cesta v DAG

Předpokládáme topologické uspořádání a v jeho směru procházíme DAG. Označme  $d[x]$  délku té cesty v DAG, která končí v  $x$  a je nejdelší možná.

Charakteristický pohled "odzadu dopředu":

- $d[x]$  určujeme až v okamžiku, kdy jsou známy hodnoty  $d$  pro všechny předchozí (= již zpracované) uzly v topologickém uspořádání.
- $d[x]$  určíme jako maximum z hodnot  $\{ d[y_1] + w_1, d[y_2] + w_2, \dots, d[y_k] + w_k \}$ , kde  $(y_1, x), (y_2, x), \dots, (y_k, x)$  jsou všechny hrany končící v  $x$  a  $w_1, w_2, \dots, w_k$  jsou jejich odpovídající váhy.

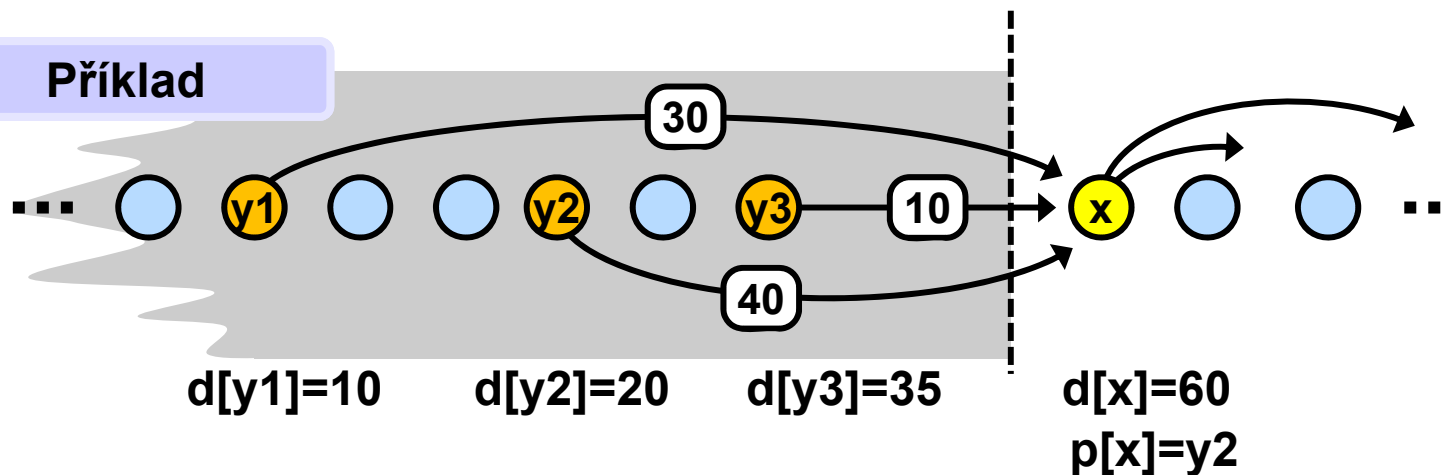
Příklad



## Nejdelší cesta v DAG

- $d[x]$  určíme jako maximum z hodnot  $\{ d[y_1] + w_1, d[y_2] + w_2, \dots, d[y_k] + w_k \}$ , kde  $(y_1, x), (y_2, x), \dots, (y_k, x)$  jsou všechny hrany končící v  $x$  a  $w_1, w_2, \dots, w_k$  jsou jejich odpovídající váhy.
- Uzel  $y_j$ , pro který je hodnota  $d[y_j] + w_j$  maximální a nezáporná, ustavíme předchůdcem  $x$  na hledané nejdelší cestě.
- Pokud jsou všechny hodnoty  $\{ d[y_1] + w_1, d[y_2] + w_2, \dots, d[y_k] + w_k \}$  záporné, nepříspějí do nejdelší cesty, pak položíme  $d[x] = 0$ , předchůdce  $x = \text{null}$ .

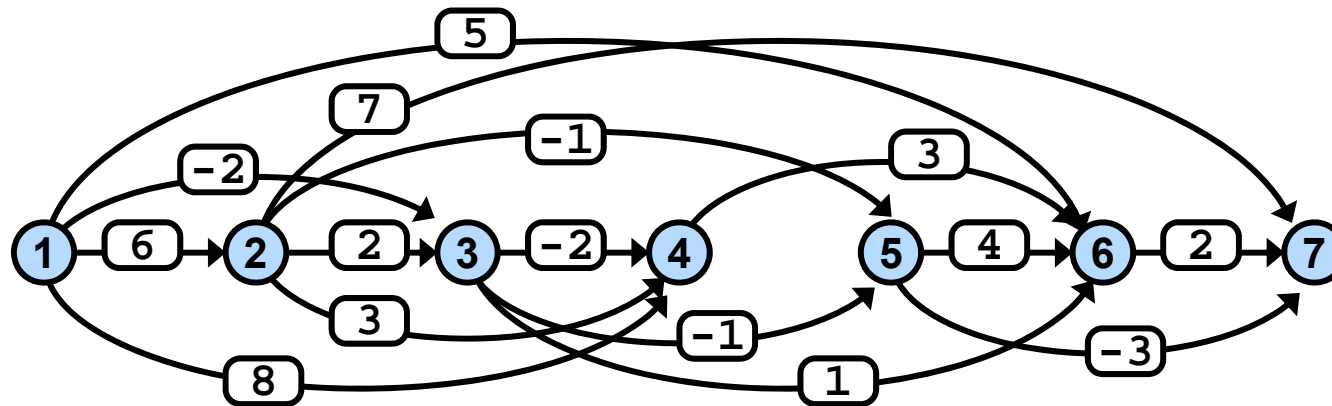
### Příklad





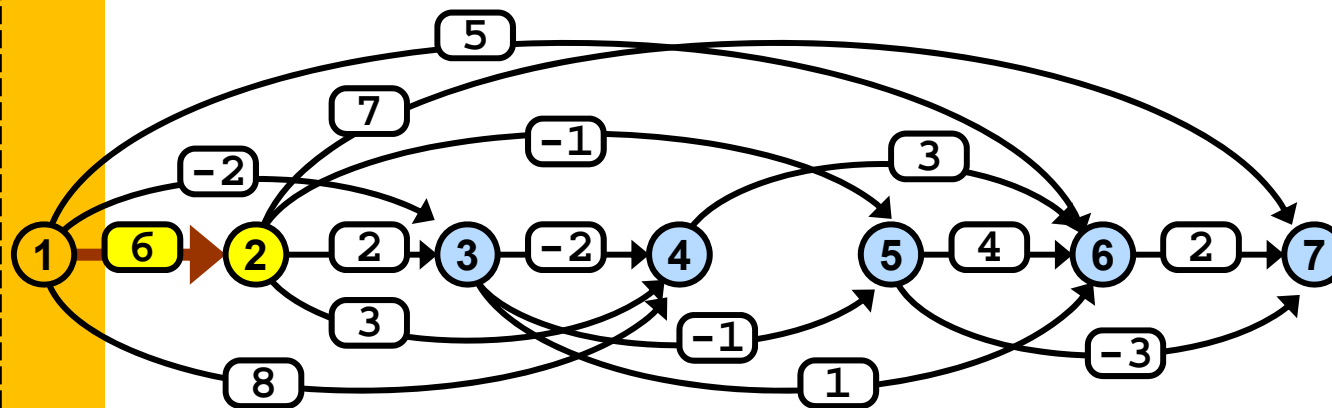
## Nejdelší cesta v DAG

### Příklad



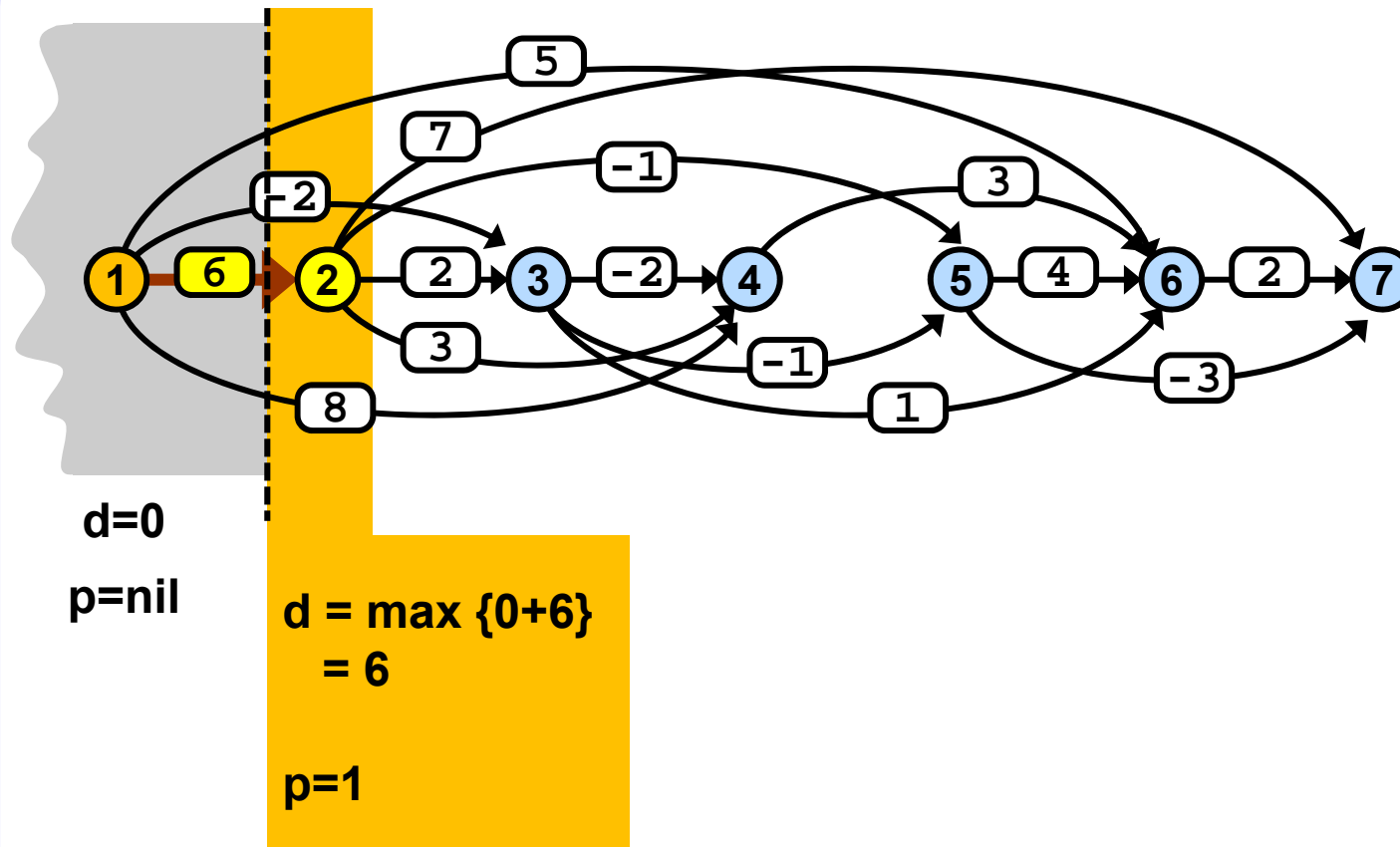
Určete nejdelší cestu a její délku.

## Nejdelší cesta v DAG

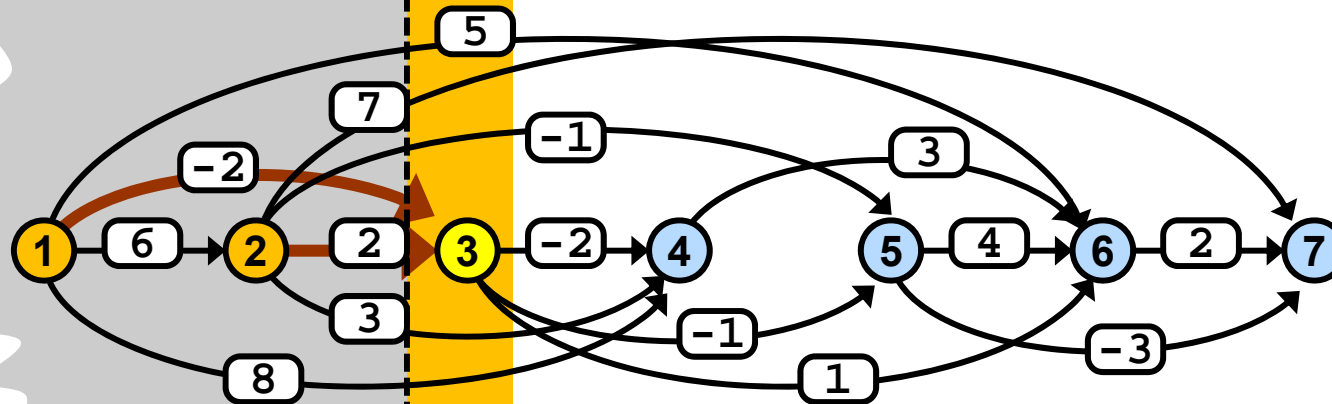


$d=0$   
 $p=\text{nil}$

## Nejdelší cesta v DAG



## Nejdelší cesta v DAG



$d=0$

$d=6$

$p=\text{nil}$

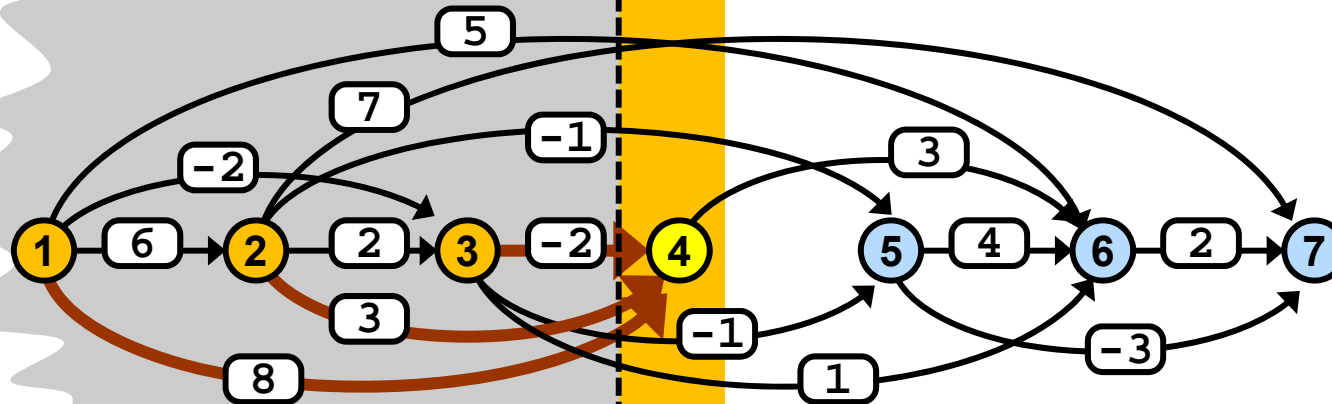
$p=1$

$$d = \max \{0 + -2, 6 + 2\}$$

$$= 8$$

$$p = 2$$

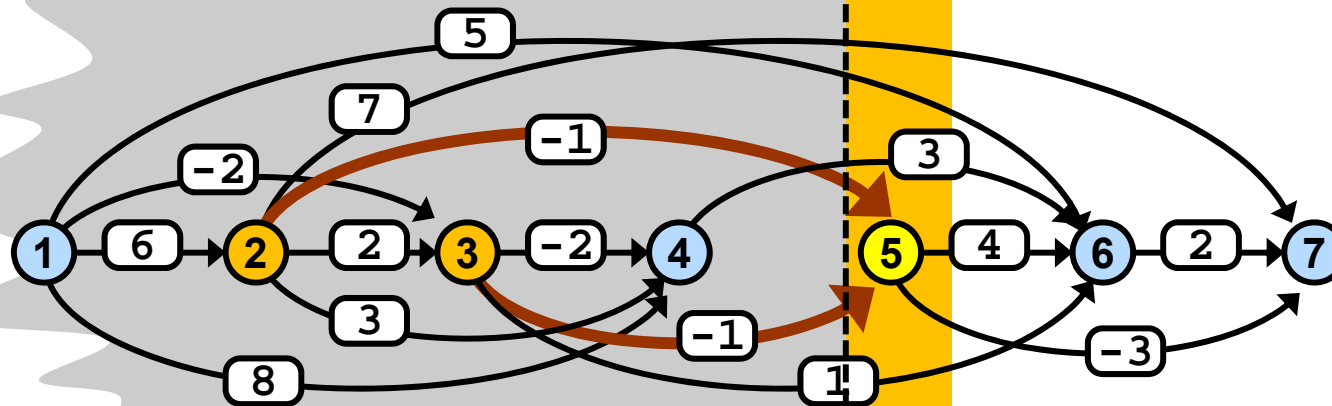
## Nejdelší cesta v DAG



$d=0$        $d=6$        $d=8$   
 $p=\text{nil}$      $p=1$        $p=2$

$$\begin{aligned}
 d &= \max \{0+8, \\
 &\quad 6+3, \\
 &\quad 8+-2\} \\
 &= 9 \\
 p &= 2
 \end{aligned}$$

## Nejdelší cesta v DAG



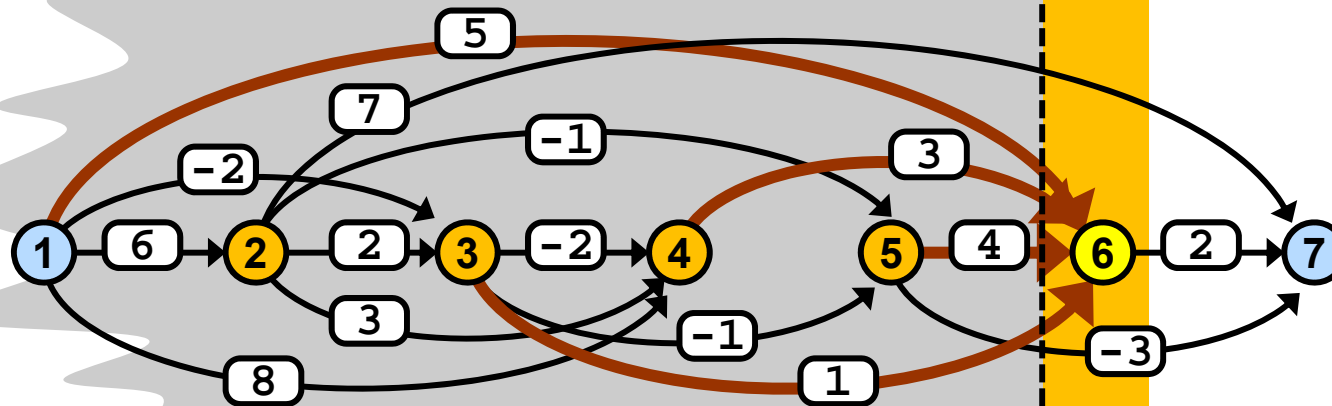
$d=0$	$d=6$	$d=8$	$d=9$
$p=\text{nil}$	$p=1$	$p=2$	$p=2$

$$d = \max \{6 + -1, 8 + -1\}$$

$$= 7$$

$$p = 3$$

## Nejdelší cesta v DAG



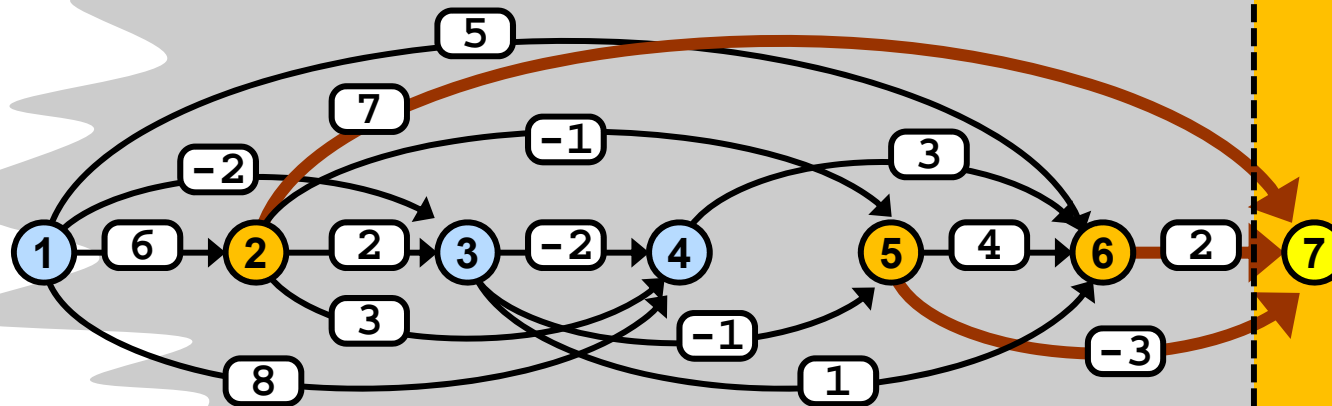
d=0	d=6	d=8	d=9	d=7
p=nil	p=1	p=2	p=2	p=3

$$d = \max \{0+5, 8+1, 9+3, 7+4\}$$

$$= 12$$

$$p = 4$$

## Nejdelší cesta v DAG



d=0	d=6	d=8	d=9	d=7	d=12
p=nil	p=1	p=2	p=2	p=3	p=4

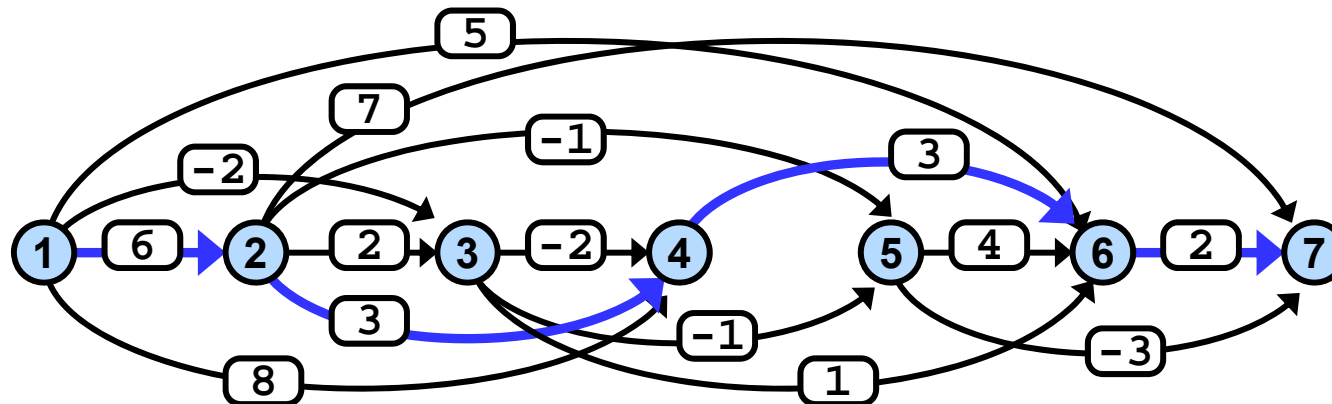
$$d = \max \{6+7, 7+-3, 12+2\}$$

$$= 14$$

$$p = 6$$



## Nejdelší cesta v DAG



d=0	d=6	d=8	d=9	d=7	d=12	d=14
p=nil	p=1	p=2	p=2	p=3	p=4	p=6



Délka nejdelší cesty: 14  
 Nejdelší cesta: 1 -- 2 -- 4 -- 6 -- 7

## Nejdelší cesta v DAG

0. allocate memory for distance and predecessor of each node

```
1. for each node x in V(G) {
    x.dist = 0    // avoids negative path lengths
    x.pred = null
}
```

*// supposing nodes are processed  
// in ascending topological order*

```
2. for each node x in V(G) {
    for each edge e = (y, x)
        if (x. dist < y.dist + e.weight) {
            x. dist = y.dist + e.weight
            x.pred = y;
        }
}
```

0. Složitost  $\Theta(N)$

1. Složitost  $\Theta(N)$

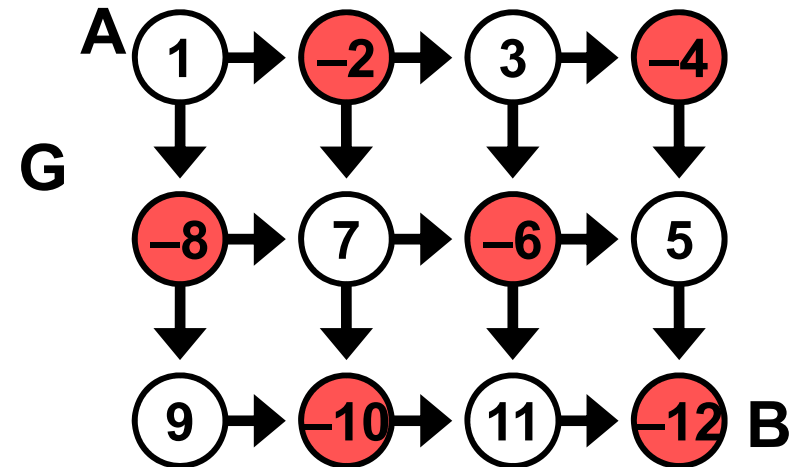
2. Složitost  $\Theta(M)$ ,  
každá hrana je navštívena  
právě jednou a zpracována  
v konstantním čase.

Složitost:  $\Theta(N+M)$

## Kvíz 3

Při průchodu grafem G z A do B

- a) lze vydělat nejvýše  $-2$
- b) lze vydělat nejvýše  $-1$
- c) lze vydělat nejvýše  $0$
- d) lze vydělat nejvýše  $1$
- e) lze vydělat alespoň  $2$

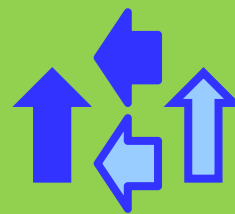
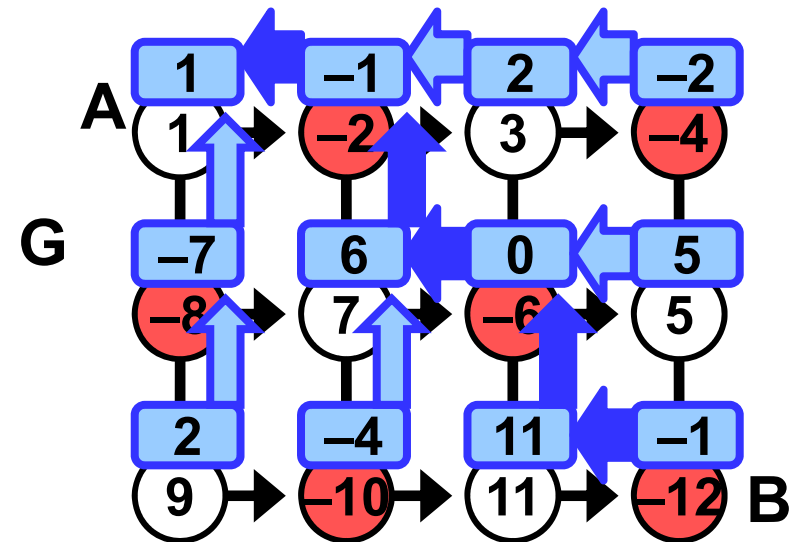


## Kvíz 3, odpověď

Při průchodu grafem G z A do B

...

b) lze vydělat nejvýše  $-1$



Výběr lepšího  
předchůdce uzlu



Optimální cesta

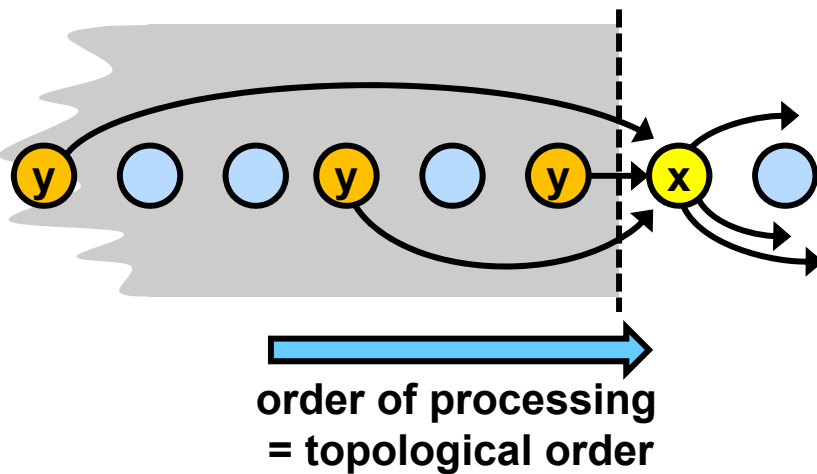
## Nejdelší cesta v DAG

### Varianta I

```

2. for each node x in  $V(G)$  {
  for each edge  $e = (y, x)$  in  $E(G)$ 
  if  $(x.\text{dist} < y.\text{dist} + e.\text{weight})$  {
     $x.\text{dist} = y.\text{dist} + e.\text{weight}$ 
     $x.\text{pred} = y;$ 
  }
}

```

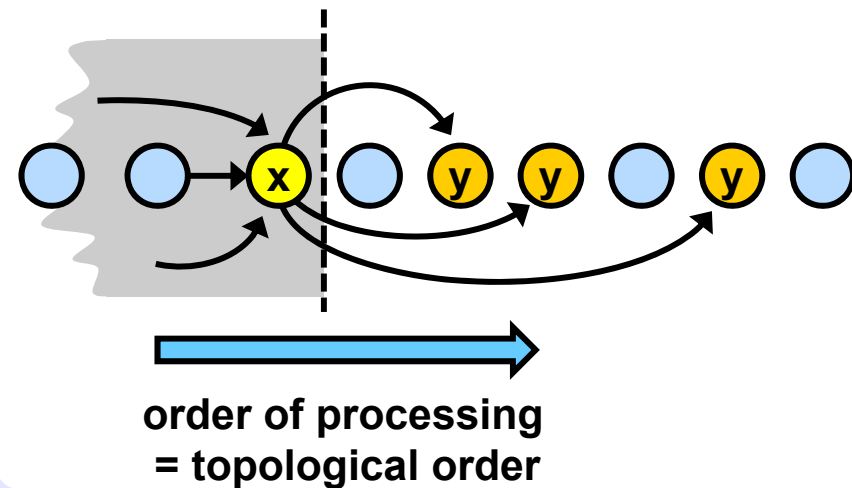


### Varianta II

```

2. for each node x in  $V(G)$  {
  for each edge  $e = (x, y)$  in  $E(G)$ 
  if  $(y.\text{dist} < x.\text{dist} + e.\text{weight})$  {
     $y.\text{dist} = x.\text{dist} + e.\text{weight}$ 
     $y.\text{pred} = x;$ 
  }
}

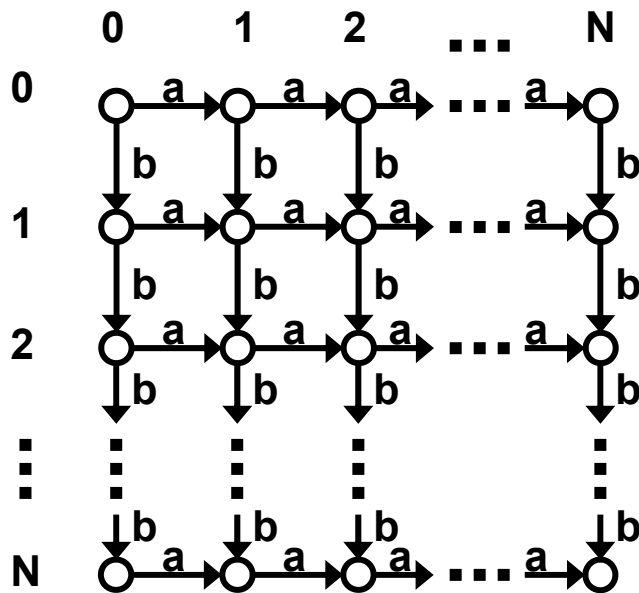
```



## Nejdelší cesty v DAG

**Problém rekonstrukce všech optimálních cest**  
 -- může jich být příliš mnoho.

### Ukázka



Každá cesta z kořene do listu je optimální, má cenu  $N \cdot (a+b)$ .

Počet všech těchto cest je  $\binom{2N}{N}$ ,  
 přičemž  $2^N < \binom{2N}{N} < 4^N$ .

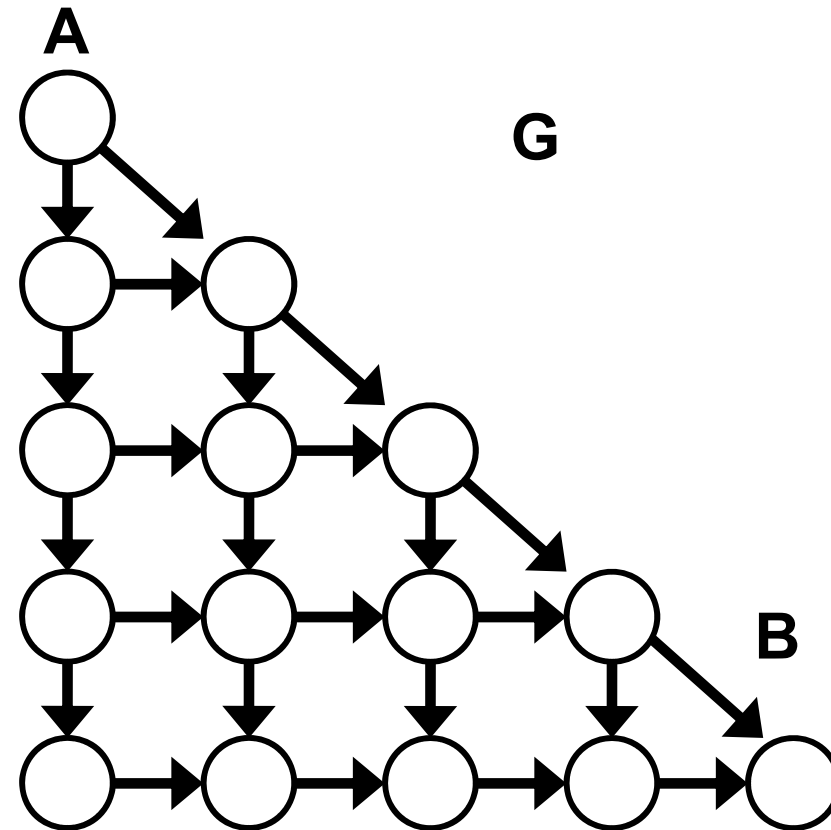
Počet optimálních řešení tedy roste exponenciálně vůči hodnotě  $N$ . Např.

$N$	Počet optimálních řešení
1	2
10	184756
20	137846528820
30	118264581564861424
40	107507208733336176461620

## Kvíz 4

Kolik různých cest vede  
v  $G$  z  $A$  do  $B$ ?

- a) Méně než 10
- b) od 10 do 20
- c) od 21 do 41
- d) **42 ??**
- e) 43 nebo více



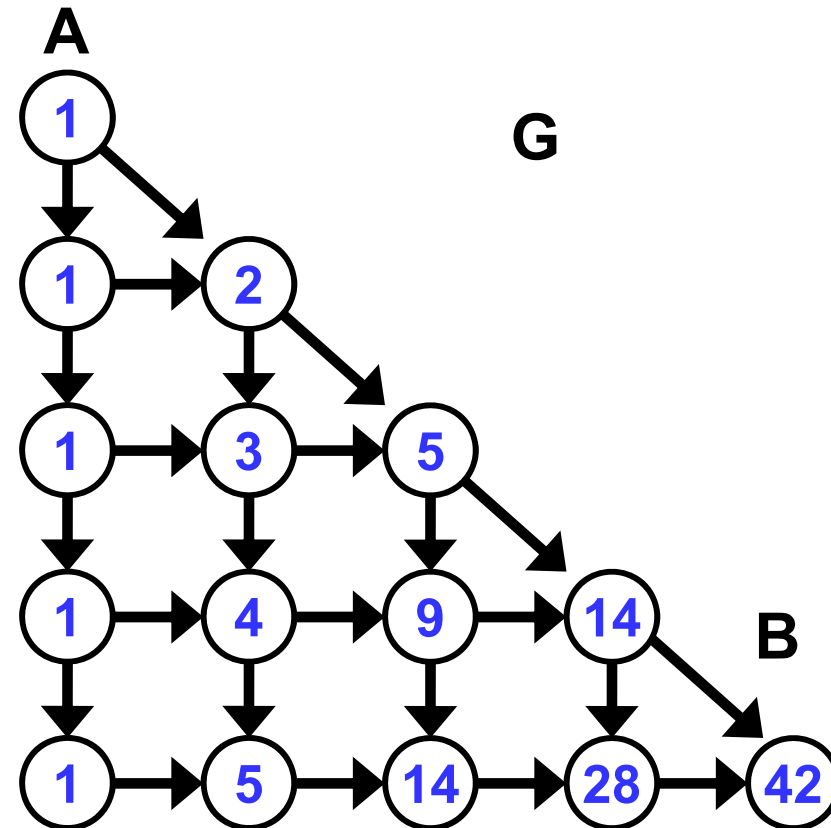
## Kvíz 4, odpověď

Kolik různých cest vede  
v  $G$  z  $A$  do  $B$ ?

...

d) **42**

Na diagonále jsou  
tzv. Catalanova čísla,  
OEIS A000108.



Každé číslo v uzlu je součtem čísel  
na začátcích hran vedoucích do uzlu,  
kromě  $A$ , kde se začíná.



## Komentáře k domácím úlohám

Za týden...